

ЛЮМИНЕСЦЕНЦИЯ ПОЛЯРИТОНОВ ВБЛИЗИ ПОВЕРХНОСТИ В АРСЕНИДЕ ГАЛЛИЯ

**С. И. Бойко, И. С. Горбань, А. П. Крохмаль,
В. И. Осинский, И. А. Рожко**

Киевский государственный университет им. Т. Г. Шевченко, 252601, Киев, Украина

(Получена 1 августа 1991 г. Принята к печати 24 декабря 1992 г.)

При гелиевых температурах исследованы спектры фотолюминесценции (ФЛ) и n -1 экситонного отражения эпитаксиальных структур $i-n^-$, $i-n^-n^-$ и $i-n^-n^-n^+$ -GaAs, выращенных МОС-гидридным способом, электронный тип проводимости которых достигался легированием Si. На некоторых эпитаксиальных слоях, имеющих множество поверхностных структурных дефектов, таких как: микропоры, микротрешины, овальные дефекты и др., собственная ФЛ проявляется в виде интенсивной одиночной полосы при 1.51514 эВ. Показано, что при затухании $\Gamma < \Gamma_{cr}$ указанная полоса обусловлена люминесценцией поляритонов вблизи поверхности, а при $\Gamma > \Gamma_{cr}$ — резонансной люминесценцией n -1 экситона.

Природа низкотемпературной краевой ФЛ высокочистых эпитаксиальных слоев GaAs в основном хорошо изучена (см. например, [1-7]), хотя и существует разногласие относительно формы полосы поляритонной люминесценции (ПЛ). В работах [8-11] много внимания уделялось попыткам адекватно теоретически описать форму дублетной полосы ПЛ, наблюдаемой в высокочистых и структурно совершенных эпитаксиальных слоях GaAs, тогда как иногда наблюдается и одиночная полоса ПЛ [7, 12], поэтому вопрос о природе формы полосы ПЛ в GaAs остается дискуссионным.

Кроме того, при усовершенствовании и отработке технологий выращивания качественных эпитаксиальных слоев коммерческого GaAs исследователи часто в доказательство полупроводниковой чистоты и структурного совершенства полученного материала приводят спектры низкотемпературной краевой ФЛ [12, 13], которые нуждаются в правильной интерпретации.

Мы исследовали низкотемпературные спектры ФЛ и экситонного отражения (ЭО) эпитаксиальных структур $i-n^-$, $i-n^-n^-$ и $i-n^-n^-n^+$ -GaAs, выращенных в разных условиях, в основном МОС-гидридным способом на подложках полуизолирующего GaAs: Cr ориентации (100), электронный тип проводимости которых достигался легированием Si. Исследовались также некоторые структуры, выращенные молекулярно-лучевой эпитаксией. Толщины слоев n^- , n и n^+ в структурах составляли ≈ 0.2 мкм, некоторые слои n^- были толщиной > 1 мкм. Разностная концентрация доноров N_D и акцепторов N_A : $N_D - N_A$ и концентрация электронов n в образцах оценивались из холловских измерений и $C-V$ -характеристик.

Измерения проводились на модернизированном спектрометре ДФС-12 с дифракционными решетками 1200 шт./мм, работающими в первом порядке спектра, при этом обратная линейная дисперсия прибора составляет 0.5 нм/мм. Спектрометр автоматизирован на базе ППЭВМ «Искра-1030.11». Фотоприемником служил охлаждаемый ФЭУ-83. В представленных измерениях при спектральном разрешении 0.05 мэВ погрешность спектрометра в определении энергий фотонов, соответствующих длинам волн в вакууме (коэффициент преобразования равен

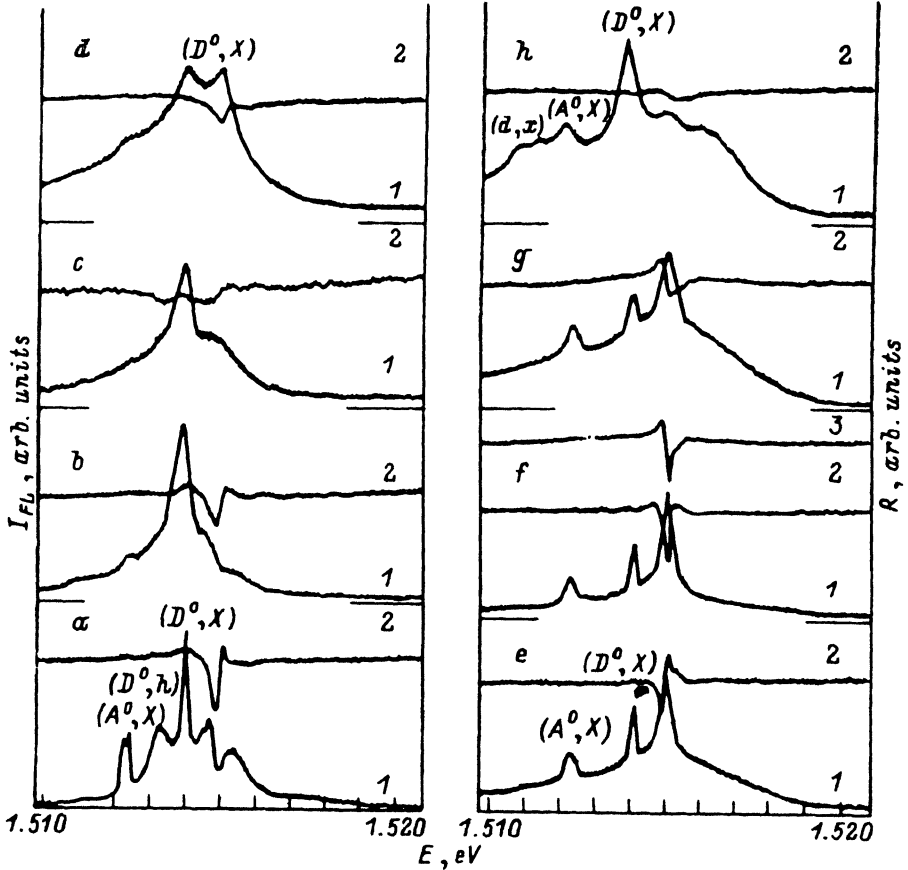


Рис. 1. Спектры ФЛ эпитаксиальных структур GaAs (1) и экситонного отражения (2, 3). $a-d$ — буферные слои $i-n^-$; $e-g$ — структуры $i-n^-n^-n$; h — структура $i-n^-n^-n+n^+$. $T = 1.7$ К. $P = 1.2$ Вт/см 2 .

1239.852 эВ·нм), не превышает $2 \cdot 10^{-5}$ эВ. Криосистема позволяет получать фиксированные температуры исследуемых образцов от 1.6 К и выше с отклонением от заданной температуры не более чем на 0.05 К. ФЛ возбуждалась Не—Не-лазером ЛГН-215. Максимальная плотность мощности не сфокусированного на образце пучка ($\lambda = 632.8$ нм) составляла 1.2 Вт/см 2 . Спектры ЭО изменились при нормальном падении на образец излучения от лампы накаливания КГМ-100.

На рис. 1. показаны спектры экситонной ФЛ и $n-1$ экситонного отражения для нескольких характерных $i-n^-$ - или буферных слоев структур $i-n^-n^-n$ и $i-n^-n^-n+n^+$ -GaAs при $T = 1.7$ К. Для наиболее чистых, специально не легированных слоев $i-n^-$ (рис. 1, a) главные особенности экситон-примесного спектра наблюдаются в виде узкой линии 1.51414 эВ с полушириной $\Delta E < 0.2$ мэВ, обусловленной экситонами, связанными на нейтральных донорах (D°, X), полосы с максимумом 1.5134 эВ, вызванной излучательными переходами электронов с нейтральных неравновесных доноров в валентную зону (D°, h) [1] и дублетной линии (A°, X) с максимумами 1.51253 и 1.51235 эВ, обусловленной экситонами, связанными с нейтральным фоновым акцептором (углеродом) [14]. Кроме указанных особенностей, в спектре ФЛ видны также более слабые

максимумы при 1.51453 и 1.51463 эВ, соответствующие не донорным комплексам [³, ¹³], а переходам со второго и третьего вращательных состояний связанного экситона (D^o, X) как нежесткого ротатора на $1s$ -состояние нейтрального донора [⁵].

Собственный спектр проявляется в виде ПЛ из верхней поляритонной ветви (ВПВ) с максимумом при 1.5154 эВ и нижней поляритонной ветви (НПВ) с максимумом при 1.5148 эВ. Указанные особенности как поляритонного, так и экситон-примесного спектров ФЛ очень хорошо согласуются с ранее опубликованными данными для структурно совершенных и высокочистых слоев GaAs с $N_D + N_A \ll 10^{14} \text{ см}^{-3}$ [^{1-5, 8, 9}]. Как видно из рис. 1, остальные образцы также проявляют описанный экситон-примесный спектр в той или иной мере. Здесь необходимо отметить, что от образца к образцу наблюдается некоторый разброс в энергетическом положении линий ФЛ, вызванный напряжениями в слоях, штарковским сдвигом экситонных уровней в поле заряженных примесей, а также экранированием.

При больших концентрациях неконтролируемых примесей с $N_D - N_A \approx 10^{15} \text{ см}^{-3}$ поляритонный спектр выражен менее четко (рис. 1, *b, c*), причем в некоторых образцах хорошо видна асимметрично уширенная в длинноволновую сторону форма контура линии (D^o, X), присущая эффекту Штарка на линии (D^o, X) в поле заряженных доноров и акцепторов [^{15, 16}]. По интенсивности полосы (A^o, X), обусловленной фоновым углеродом, можно сказать, что в данном образце в качестве компенсирующего акцептора выступает более глубокий центр, во всяком случае проявление его в области излучения донорно-акцепторных пар мы не обнаружили. При $N_D - N_A \approx 10^{16} \text{ см}^{-3}$ поляритонный дублет трансформируется в одну полосу с максимумом при 1.5148 эВ, что обусловлено уменьшением времени жизни поляритонов, вызванным возрастанием затухания Г. Рост затухания Г обусловлен упругим рассеянием поляритонов на примесях, которое уменьшает их время жизни τ . Существенно уменьшается τ при этом также за счет роста безызлучательного захвата экситонов нейтральными донорами с образованием (D^o, X) [^{4, 17, 18}]. Поэтому поляритонный спектр (рис. 1, *c*) можно отнести к так называемому «третьему типу» ПЛ с малым временем жизни поляритонов, наблюдавшему ранее в CdS и ZnTe [¹⁸].

Все вышесказанное подтверждается спектрами резонансного $n-1$ ЭО (рис. 1, кривая 2), проявляющими присущую поляритонам форму кривой отражения с учетом безэкситонного или «мертвого» слоя [¹]. Как видно из рис. 1, *a*, для наиболее чистого буферного слоя наблюдаемый спектр ЭО содержит резкий выступ при 1.51518 эВ, что соответствует энергии продольного экситона E_L , и узкий глубокий минимум при 1.51500 эВ. Узкий и глубокий минимум отражения указывает на весьма малое затухание поляритонов Г. Расчеты [¹] показали, что при $\Gamma = 0$ и толщине мертвого слоя $l = 29.0 \text{ нм} \approx 2a_{ex}$ минимум в отражении совпадает с энергией поперечного экситона E_T . Если считать, что в данном случае $l = 2a_{ex}$, тогда продольно-поперечное расщепление составляет $\Delta E_{LT} = 0.18 \text{ мэВ}$ и является более близким к теоретическому значению $\Delta E_{LT} = 0.1 \text{ мэВ}$, чем значение 0.25 мэВ, полученное в [¹]. Следует отметить, что резкий выступ и минимум в спектре отражения находятся в области провала в ПЛ, наблюдавшегося при 1.5151 эВ. В случае большего затухания Г, что проявляется в уменьшении амплитуды и уширении минимума отражения, а также подавлении выступа, ΔE_{LT} также совпадает с провалом в ПЛ (рис. 1, *e*). Это недвусмысленно указывает, что максимум ФЛ при 1.5148 эВ обусловлен ПЛ из НПВ, ибо на этот счет имеются сомнения [^{3, 8}].

На некоторых буферных слоях, а также структурах (рис. 1, *d-h*) мы наблюдали узкую полосу ФЛ с максимумом 1.51514 эВ и полушириной $0.4 \div 0.55 \text{ мэВ}$, интенсивность которой может значительно превышать интенсивность (D^o, X). Подобный спектр ФЛ недавно наблюдали авторы [¹³] и интерпретировали

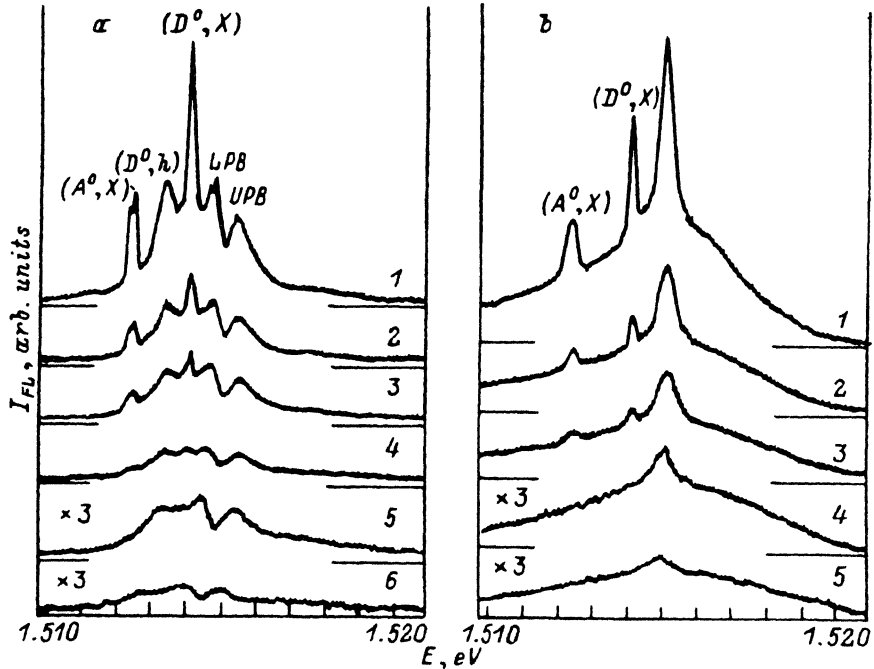


Рис. 2. Спектры температурного тушения ФЛ эпитаксиальных структур GaAs. *a* — структура $i-n^-$, *b* — структура $i-n^-n$. $P = 1.2 \text{ Вт/см}^2$. $T, \text{К}$: 1 — 1.7, 2 — 5, 3 — 7, 4 — 15, 5 — 20, 6 — 30.

интенсивную полосу при 1.5150 эВ (обозначенную «*e*») суперпозицией излучательных переходов экситонов, связанных на донорных комплексах, и (D°, X) . Мы провели специальные эксперименты по температурному тушению краевой ФЛ. На рис. 2 приведены спектры температурного тушения ФЛ высокочистого буферного слоя (*a*) и структуры $i-n^-n$ (*b*). Как видно, темп затухания линий (D°, X) значительно более быстрый, нежели узкой полосы 1.51514 эВ. При $T = 20 \text{ К}$ линий связанных экситонов уже практически не видно, а поляритонный спектр и полоса 1.51514 эВ наблюдаются вплоть до 40 К. Следовательно, полоса 1.51514 эВ не может быть обусловлена экситонами, связанными на донорных комплексах [13] или на иных более мелких локальных центрах, так как энергия связи $E_{\text{вex}}$ таких образований должна быть меньше чем $E_{\text{вex}} = 1 \text{ мэВ}$ для (D°, X) , а имеет собственную природу. Кроме того, при уменьшении плотности мощности возбуждения интенсивность линии 1.51514 эВ так же сильно уменьшается по отношению к интенсивности линии (D°, X) , как и в случае ПЛ (рис. 3), что всегда наблюдается на высокочистых эпитаксиальных слоях GaAs [1, 4, 9].

Спектры экситонного отражения эпитаксиальных слоев, обнаруживающие обсуждаемую полосу ФЛ при 1.51514 эВ и содержащие $n \leq 10^{16} \text{ см}^{-3}$, проявляют форму контура, свойственную поляритонам (рис. 1, *d-f*), причем некоторые образцы (*e*, *f*) показывают необычную структуру отражения. Спектр ЭО одной из структур $i-n^-n$ (рис. 1, *e*) содержит аномальный резкий выступ, равный по интенсивности резкому минимуму. Резкий минимум может свидетельствовать о малом затухании Г. Об этом говорит и небольшая полуширина линии ФЛ $(D^\circ, X) \Delta E = 0.25 \text{ мэВ}$, отражающая невысокую концентрацию нейтральных доноров в n -слое. Подобный спектр, но с более широким минимумом отражения, наблюдали также авторы [1]. Согласно расчетам [1], такая форма спектра может

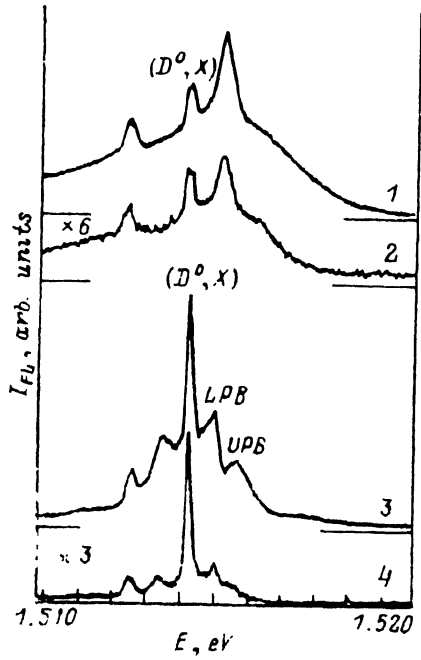


Рис. 3. Спектры ФЛ эпитаксиальных структур GaAs при различных уровнях возбуждения. 1, 2 — буферный слой; 3, 4 — структура $i-n^-n$; P , мВт/см 2 : 1, 3 — 55, 2, 4 — 1.2. $T = 1.7$ К.

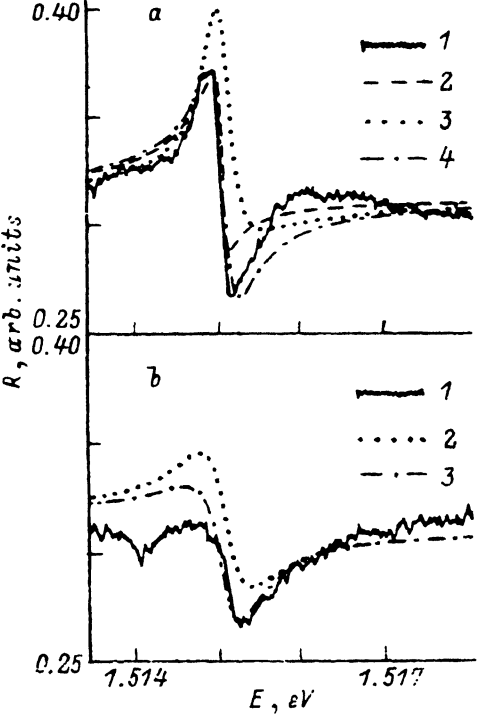


Рис. 4. Сравнение экспериментальных и расчетных спектров экситонного отражения. а — структура $i-n^-n$. 1 — эксперимент; расчет при параметрах M/m_0 : 2 — 0.298, 3, 4 — ∞ . l , нм: 2, 3 — 100.8, 4 — 0. $\hbar\Gamma$, мэВ: 2 — 0.05, 3, 4 — 0.35. б — структура $i-n^-n^+$. 1 — эксперимент; расчет при $M/m_0 = \infty$; 1, нм: 2 — 0, 3 — 10. $\Gamma = 0.6$ мэВ.

отвечать фазе запаздывания при отражении $\Theta = 2lk\sqrt{\epsilon_0} \approx 3\pi/4$, что соответствует толщине мертвого слоя $l = 43$ нм. Но наблюдаемый очень узкий минимум плохо согласуется с теоретическим спектром. Поэтому резкое увеличение выступа можно объяснить наличием электрического поля [19, 20], вызванного поверхностным зарядом. Мы провели эксперименты по одновременному химическому полирующему травлению данного образца и контрольного, буферного, проявляющего обычный (рис. 1, а) спектр ЭО, в слабом растворе брома в метаноле. После травления образцы промывались в дистиллированной воде, затем быстро помещались в инертную среду — гелиевый криостат. Как и в работе [1], после травления спектр отражения «аномального» образца резко изменился (рис. 1, б). На этом же рисунке (кривая 3) показан спектр отражения этого же образца, спустя несколько дней после пребывания его на открытом воздухе. Из сопоставления спектров отражения (е) и (ж) можно сказать, что произошло вращение контура отражения с изменением фазы примерно на π , тогда как спектр отражения контрольного образца практически не изменился. Эти трансформации спектра отражения обусловлены изменением поля поверхностного заряда в n -слое, которое сильно изменяет толщину мертвого слоя. Структура спектра ФЛ при этом не изменилась, хотя интенсивность фона заметно снизилась, а интенсивность линии 1.51514 эВ уменьшилась в ≈ 1.3 раза после пребывания образца на открытом воздухе. Подобное уменьшение интенсивности ФЛ в эпитаксиальном GaAs свойственно поляритонной люминесценции [20].

Мы считаем, что полоса ФЛ 1.51514 эВ обусловлена излучением «горячих» поляритонов, т. е. нетермализованных в область «бутильочного горла» дисперсионной кривой НПВ. Такие «горячие» поляритоны могут образовываться и эффективно выходить из кристалла, как фотоны люминесценции, вблизи поверхности. Следовательно, эффективную люминесценцию поляритонов вблизи поверхности следует ожидать в кристаллах, имеющих множество поверхностных структурных дефектов (микропоры, микротрешины, овальные дефекты, дислокации и др.), когда эффективно увеличивается площадь поверхности образца. Действительно, исследованные эпитаксиальные слои GaAs, в ФЛ которых наблюдается полоса 1.51514 эВ, обладают множеством поверхностных дефектов типа тех, которые перечислены выше и которые хорошо видны в микроскоп даже при 100-кратном увеличении. Здесь необходимо указать, что в ФЛ высокочистых эпитаксиальных слоев GaAs с $n = 2 \cdot 10^{14} \text{ см}^{-3}$, но также имеющих множество поверхностных овальных дефектов, дефектов типа «апельсиновой корки» и др., тоже наблюдалась одна интенсивная полоса при 1.5151 эВ, которую авторы [12] относят к излучению n -1 экситона. Таким образом, сопоставляя наши результаты и данные [12], можно сделать вывод, что природа наблюданной полосы ФЛ 1.51514 эВ как в нашем случае, так и в [12] оказывается единой — люминесценция поляритонов вблизи поверхности.

С другой стороны, не исключено, однако, что вклад в образование полосы ФЛ 1.51514 эВ в GaAs дают и поляритоны, возникшие из экситонов, затянутых в потенциальную яму поверхностного барьера, вызванного полем поверхностного электрического заряда в n -слое. В работе [21] теоретически показано возгорание полосы ЭО в GaAs за счет притяжения экситона к поверхности полем барьера Шоттки. Электрическое поле создает в поверхностном барьере потенциальную яму для экситона и, как следствие, увеличивается вероятность нахождения экситона у поверхности. Этот эффект должен приводить к возгоранию люминесценции горячих поляритонов в поле барьера Шоттки, что, по-видимому, и наблюдалось в [22].

Следует отметить, что в области ΔE_{LT} объемных поляритонов могут наблюдаться и поверхностные, или двумерные поляритоны (ПП), которым присуща своя кривая дисперсии [23]. Причем спектральная форма полосы ПП, определяемая при низких температурах произведением плотности состояний на вероятность рассеяния их на шероховатостях поверхности, должна быть симметричной, что и наблюдалось экспериментально для ПП в ZnTe [24]. Из рис. 1, e, f видно, что максимум симметричной полосы ФЛ 1.51514 эВ приходится на область ΔE_{LT} [на некоторых образцах (рис. 1, d) совпадает с минимумом в отражении], что не исключает возможного вклада в обсуждаемую полосу и ПП. Однако на основании имеющихся экспериментальных данных не представляется возможным выделить соответствующий вклад ПП в наблюданную узкую полосу 1.51514 эВ.

Весьма интересным является случай перехода от поляритонной модели (сильное экситон-фотонное взаимодействие) к модели независимых экситонов и фотонов, который должен происходить при затухании поляритонов больше критического $\hbar\Gamma > \hbar\Gamma_{cr} = 0.31 \text{ мэВ}$ [9, 11]. В спектрах ФЛ структур $i-n^-n$ и $i-n^-n-n^+$ с концентрацией электронов $n \approx 1+2 \cdot 10^{18} \text{ см}^{-3}$ наблюдается более уширенная полоса 1.5151 эВ полушириной $\Delta E \approx 0.55 \text{ мэВ}$ (рис. 1, g, h). Спектры ЭО этих слоев существенно отличаются от рассмотренных выше, проявляя форму контура отражения, более близкую к характерной для классического осциллятора. Мы провели анализ экспериментальных кривых ЭО указанных структур как в рамках теории добавочных световых волн Пекаря [25] с граничными условиями Хопфилда [26], так и для классического случая одноосцилляторной модели с параметрами экситона, взятыми из [1]. При этом параметры затухания Γ и толщины безэкситонного слоя l подбирались такими, чтобы размах и наклон «розетки» экситонного отражения наиболее соответствовал эксперименту (рис. 4).

Для сравнения приведены также некоторые кривые с такими параметрами l и Γ , при которых в поляритонном приближении [1] или в классическом случае могут ожидаться сходные с экспериментом контуры отражения. Как видно из рис. 4, спектр ЭО структуры $i-n^-n$ (рис. 1, g) наиболее близок к рассчитанному по классической теории (кривая 4) при $\hbar\Gamma = 0.35$ мэВ и $l = 0$, а для структуры $i-n^-n-n^+$ (рис. 1, h) — к рассчитанному при $\hbar\Gamma = 0.6$ мэВ и $l = 10$ нм (кривая 3). Некоторое искажение контуров отражения вызвано экситон-примесным поглощением и, вероятно, полем поверхностного заряда. Анализ контуров ЭО позволяет говорить, что в данном случае полосы 1.5151 эВ следует считать резонансной $n-1$ экситонной люминесценцией.

Таким образом, анализ наших экспериментальных результатов в совокупности с известными литературными данными позволяет полагать, что люминесценция поляритонов вблизи поверхности в эпитаксиальном GaAs может играть существенную роль. Поэтому наличие в ФЛ полосы 1.5151 эВ в слоях с затуханием $\Gamma < \Gamma_{cr}$ говорит скорее не о структурном совершенстве, а, по-видимому, о наличии в них поверхностных структурных дефектов и дает возможность по спектрам низкотемпературной собственной ФЛ оценивать качество эпитаксиальных слоев GaAs.

СПИСОК ЛИТЕРАТУРЫ

- [1] D. D. Sell, S. E. Stokowski, R. Dingle, J. V. di Lorento. Phys. Rev. B, 7, 4568 (1973).
- [2] A. M. White, P. Y. Dean, B. Day. J. Phys. C, 7, 1400 (1974).
- [3] U. Heim, P. Heisinger. Phys. St. Sol. (b), 66, 461 (1974).
- [4] В. Б. Столачинский. ЖЭТФ, 72, 593 (1977).
- [5] D. S. Reynolds, K. K. Bajaj, C. W. Litton. Sol. St. Commun., 53, 1061 (1985).
- [6] T. Askary, P. Y. Yu. Sol. St. Commun., 47, 241 (1983).
- [7] J. Lee, E. S. Koteles, M. O. Vassel. J. P. Salerno. J. Luminesc., 34, 63 (1985).
- [8] В. М. Бортанюк, Ю. В. Жиляев, В. В. Россин, Т. В. Россина, В. В. Травников. ФТГ, 28, 201 (1986).
- [9] Ю. В. Жиляев, Г. Р. Маркарян, В. В. Россин, Т. В. Россина, В. В. Травников. ФТГ, 28, 2688 (1986).
- [10] В. В. Россин. ФТГ, 31, 218 (1989).
- [11] Ю. В. Жиляев, В. В. Россин, Т. В. Россина, В. В. Травников. ФТГ, 32, 1801 (1990).
- [12] M. Meiblum, E. E. Mendez, L. Osterling. J. Appl. Phys., 54, 6982 (1983).
- [13] В. М. Андреев, А. М. Васильев, Н. С. Зимогорова, В. М. Ленстратов, В. И. Мырзин. ФТП, 24, 1194 (1990).
- [14] D. J. Ashen, P. J. Dean, D. T. J. Hurle, J. B. Mullin, A. M. White. J. Phys. Chem. Sol., 36, 1041 (1975).
- [15] H. Kukimoto, S. Shionoya, S. Toyotomi, K. Moridaki. J. Phys. Soc. Japan, 28, 110 (1970).
- [16] А. П. Крохмаль, В. П. Кошеленко. ФТП, 24, 669 (1990).
- [17] C. J. Hwang. Phys. Rev. B, 8, 646 (1973).
- [18] В. В. Травников, В. В. Криволапчук. ЖЭТФ, 85, 2087 (1983).
- [19] В. А. Киселев. ФТГ, 20, 2173 (1978).
- [20] L. Schultheis, I. Balslev. Phys. Rev. B, 28, 2292 (1983).
- [21] В. А. Киселев. Письма ЖЭТФ, 29, 369 (1979).
- [22] L. Schultheis, C. W. Tu. Phys. Rev. B, 32, 6978 (1985).
- [23] В. М. Агранович, Т. А. Лескова. Письма ЖЭТФ, 29, 151 (1979).
- [24] M. S. Brodin, M. G. Matsko. Sol. St. Commun., 35, 375 (1980).
- [25] С. И. Пекар. Кристаллооптика и добавочные световые волны. Киев (1982).
- [26] J. J. Hopfield, D. G. Thomas. Phys. Rev., 132, 563 (1963).